

## บทที่ 5

### อภิปภาคผลการทดลอง

ผลการทดลองบดผงซีลิกอนในไทร์ที่ห้องทดลองในอุณหภูมิ  $1800^{\circ}\text{C}$  เป็นเวลา 3 ชั่วโมงพบว่า

#### 5.1 ผลด้านความหนาแน่น

การทำซีนเทอร์เซรามิกซีลิกอนในไทร์ให้ได้ความหนาแน่นสูงจากการเตรียมขันรูปองที่ดี แล้ว (High Green Density) พบว่ายังมีองค์ประกอบที่สำคัญอย่างอื่นอีก 2 ส่วนคือส่วนที่หนึ่งมา จากขนาดของผงซีลิกอนในไทร์ซึ่งปกติจะมีรั้งซีลิกาเคลือบที่ผิวประมาณ 1 ถึง 5 wt% ส่วนที่สอง คือคุณสมบัติของ เฟสแก้ว (Glass Phase) ที่เกิดจากสารปรับปูงสมบูรณ์เพื่อช่วยการซีนเทอร์ เช่น Softening Temperature และความหนืด (Vicosity)<sup>13</sup>

จากตารางที่ 5.1 แสดงส่วนผสมของสารปรับปูงสมบูรณ์ %TD เมื่อพิจารณาอัตราส่วนระหว่าง wt% $\text{Al}_2\text{O}_3$  กับ wt% $\text{MgO}$  ของส่วนผสมทางเคมีของ A ถึง M เปรียบเทียบกับเฟสไหอะแกรมของระบบ  $\text{MgO}-\text{Al}_2\text{O}_3-\text{SiO}_2$ <sup>33</sup> ดังรูปที่ 5.1 เมื่อลากเส้นตรงจากจุด 100wt% $\text{SiO}_2$  ไปยังจุดที่อยู่บนเส้น 0wt% $\text{SiO}_2$  ตำแหน่ง A ถึง M ( 0 – 89.36 wt%  $\text{Al}_2\text{O}_3$  :  $\text{MgO}$  ) ตามลำดับ พบว่าเส้นตรงที่ลากไปยังตำแหน่ง B ( 44.44 wt%  $\text{Al}_2\text{O}_3$  ) และ F ( 56.52 wt%  $\text{Al}_2\text{O}_3$  ) ผ่านจุด Liquid Phase Transformation ที่อุณหภูมิต่ำประมาณ  $1400^{\circ}\text{C}$  ในระบบ  $\text{MgO}-\text{Al}_2\text{O}_3-\text{SiO}_2$

สำหรับส่วนผสมทางเคมีของ A ถึง M เปรียบเทียบกับเฟสไหอะแกรมของระบบ  $\text{Al}_2\text{O}_3-\text{Y}_2\text{O}_3-\text{SiO}_2$ <sup>18</sup> ดังรูปที่ 5.2 พบว่าเมื่อลากเส้นตรงจากจุด 100wt% $\text{SiO}_2$  ไปยังจุดที่อยู่บนเส้น 0wt% $\text{SiO}_2$  ตำแหน่ง A ถึง M ( 0 – 60 wt%  $\text{Al}_2\text{O}_3$  :  $\text{Y}_2\text{O}_3$  ) ตามลำดับ ผลปรากฏว่าเส้นตรงที่ลากไปยังตำแหน่ง C ,G และ L (40 wt%  $\text{Al}_2\text{O}_3$  ) ผ่านจุด Liquid Phase Transformation ที่อุณหภูมิต่ำประมาณ  $1400^{\circ}\text{C}$  ในระบบ  $\text{Al}_2\text{O}_3-\text{Y}_2\text{O}_3-\text{SiO}_2$

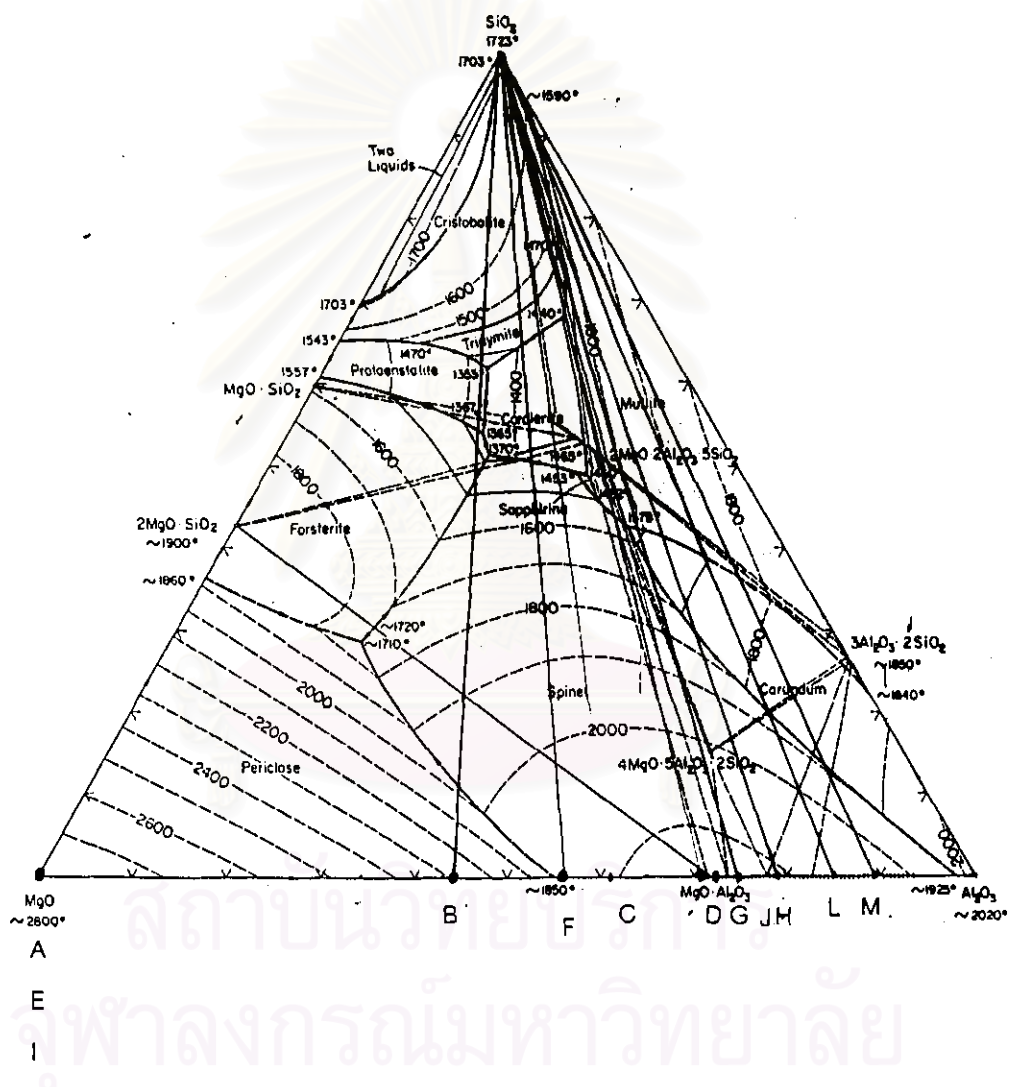
ด้วยเหตุผลดังกล่าวเมื่อทำการซีนเทอร์ที่อุณหภูมิ  $1800^{\circ}\text{C}$  เฟสแก้วที่เกิดจากส่วนผสมของสารปรับปูงสมบูรณ์ B , C , F , G และ L จะมีความหนืดต่ำ (Low Viscosity) ทำให้ผงซีลิกอนในไทร์เกิดปรากฏการณ์ Wettability ได้ เป็นผลให้ขั้นตอนการจัดเรียงอนุภาค (Rearrangement)

เนื่องจากแรง Capillary และขั้นตอนการ Solution-Diffusion-Precipitation ของกระบวนการการซินเทอร์เกิดขึ้นได้ดีและทำให้เชิงมิเกลลิกอนในไตร์กายนลังการทำซินเทอซีความหนาแน่นสูง

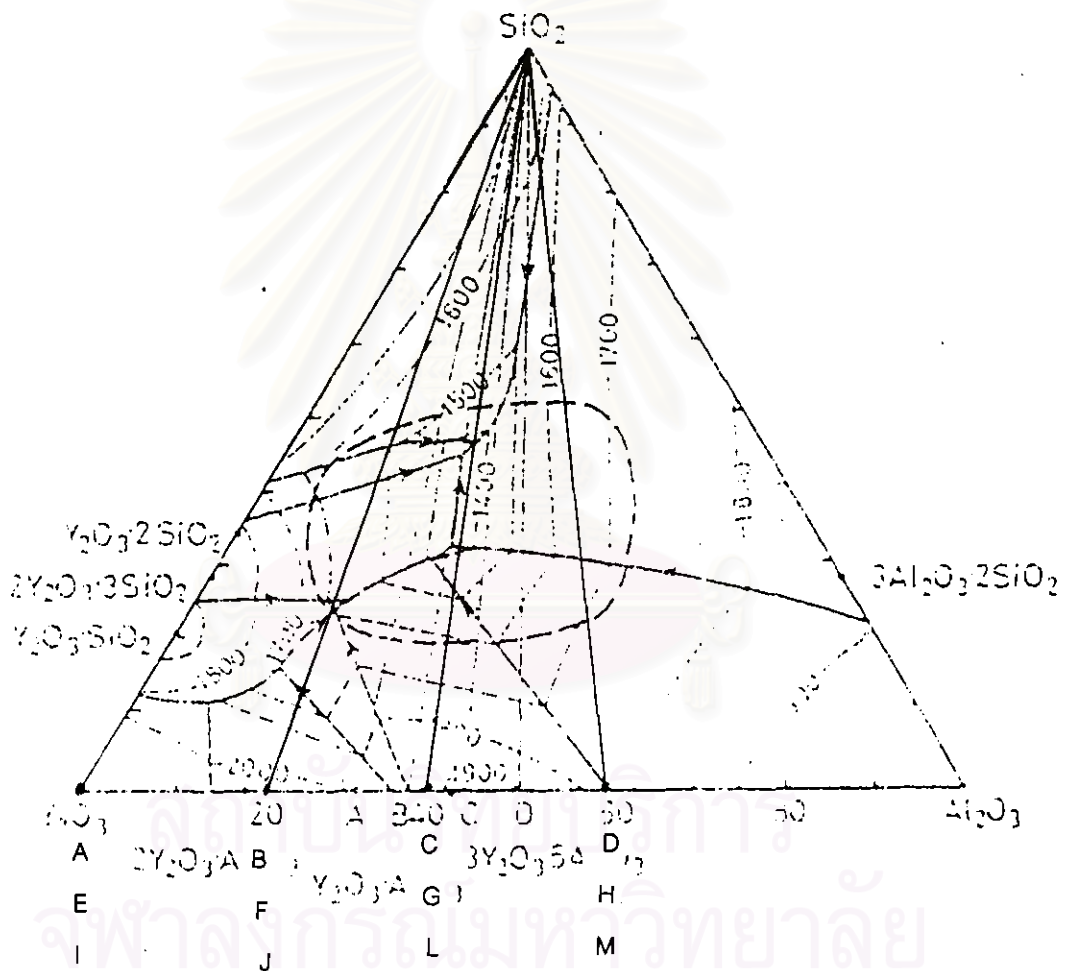
ที่สัดส่วนของ  $1 \text{ wt\% MgO} + 2.8 \text{ wt\% Al}_2\text{O}_3 + 11.2 \text{ wt\% Y}_2\text{O}_3$  มีความเป็นไปได้ที่จะเป็น Eutectic Temperature ของระบบ  $\text{MgO-Al}_2\text{O}_3-\text{Y}_2\text{O}_3$  เนื่องจากความหนาแน่นที่ได้รับมีค่าสูงสุดสำหรับกรณีของส่วนผสม B ที่มีผลด้านความหนาแน่นประมาณ 97.04 %TD อาจเนื่องมาจากการเตรียมแผ่นขึ้นรูป (Green density) ไม่ติดพอยช์ค่าความหนาแน่นก่อนการซินเทอร์ (Green Density) ที่ได้มีค่าต่ำประมาณ  $1.629 \text{ g/cm}^3$ , 50%TD

สารปรับปุ่ง สมบูรณ์ Composition	MgO (g)	$\text{Al}_2\text{O}_3$ (g)	$\text{Y}_2\text{O}_3$ (g)	wt% $\text{Al}_2\text{O}_3$ ต่อ MgO	wt% $\text{Al}_2\text{O}_3$ ต่อ $\text{Y}_2\text{O}_3$	%TD
A	3	-	12	0	0	98.28
B	3	2.4	9.6	44.44	20	97.01
C	3	4.8	7.2	61.54	40	97.41
D	3	7.2	4.8	70.59	60	96.85
E	2	-	13	0	0	94.80
F	2	2.6	10.4	56.52	20	98.70
G	2	5.2	7.8	72.22	40	97.84
H	2	7.8	5.2	79.59	60	96.74
I	1	-	14	0	0	97.08
J	1	2.8	11.2	73.68	20	99.04
L	1	5.6	8.4	84.85	40	98.01
M	1	8.4	5.6	89.36	60	96.97

ตารางที่ 5.1 แสดงปริมาณสารปรับปุ่งสมบูรณ์ที่ทำให้ความหนาแน่น%TD ภายหลังการทำซินเทอร์

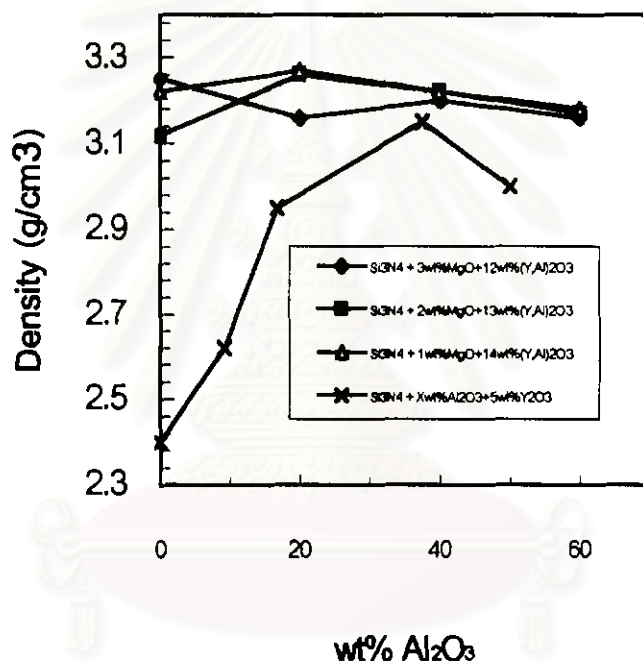


ຮູບທີ 5.1 ແສດງເຟສໄທຂະແກ່ມານຂອງ ຮະບນ  $\text{MgO} \cdot \text{Al}_2\text{O}_3 \cdot \text{SiO}_2$ <sup>33</sup>



รูปที่ 5.2 แสดงเฟสไดอะแกรมของระบบ  $\text{Al}_2\text{O}_3\text{-}\text{Y}_2\text{O}_3\text{-}\text{SiO}_2$ <sup>18</sup>

เมื่อเปรียบเทียบผลการทดลองของระหว่าง  $\text{Si}_3\text{N}_4 + 2\text{wt\%MgO} + 13\text{wt\%} (\text{Al}_2\text{O}_3:\text{Y}_2\text{O}_3)$  และ  $\text{Si}_3\text{N}_4 + 1\text{wt\%MgO} + 14\text{wt\%} (\text{Al}_2\text{O}_3:\text{Y}_2\text{O}_3)$  กับผลการทดลองของ Eiji Tani และผู้ช่วงงาน<sup>8</sup> ในการทำซีนเทอร์  $\text{Si}_3\text{N}_4 + 5\text{wt\% Y}_2\text{O}_3 + X\text{wt\% Al}_2\text{O}_3$  ที่อุณหภูมิ  $1800^\circ\text{C}$  ในบรรยากาศในตัวเรือนที่ความดัน  $2 \text{ MPa}$  ลักษณะความสัมพันธ์ระหว่างความหนาแน่น(Bulk Density)กับปริมาณ  $\text{Al}_2\text{O}_3$  มีแนวโน้มคล้ายกัน ดังแสดงในรูปที่ 5.3



รูปที่ 5.3 แสดงการเปรียบเทียบความสัมพันธ์ระหว่างความหนาแน่น(Bulk Density)กับปริมาณ  $\text{Al}_2\text{O}_3$  กับผลงานของ Eiji Tani และผู้ช่วงงาน<sup>8</sup>



## 5.2 ผลด้าน Young's Modulus of Elasticity (E)

ผลการทดสอบหาค่า Young's Modulus ด้วย Three Point Bending ของ  $\text{Si}_3\text{N}_4 + 1\text{wt\%MgO} + 14\text{wt\%Y}_2\text{O}_3$  พบว่าการทดสอบแบบ Strain Gauge Wire มีค่ามากกว่าวิธีการวัด Point Load Displacement ประมาณ 10% ที่เป็นเช่นนี้ เพราะว่าในขณะที่ขึ้นงานถูก Bending บริเวณที่มีการปิดตัวมากที่สุดคือบริเวณด้านล่างตรงกลางของชิ้นงาน ดังนั้นการใช้ Wire strain gauge วัดหาค่าการปิดตัวได้ถูกต้องที่สุดควรจะต้องใช้คลอดที่มีความยาวน้อยที่สุดเท่าที่จะเป็นไปได้ ด้วยสาเหตุนี้การใช้ Wire strain gauge ที่มีความยาว 10 mm อาจมีผลทำให้ค่าที่อ่านได้จาก Strain Gauge มีค่าน้อยกว่าความเป็นจริง ทำให้ผลการคำนวณค่า Young's Modulus มีค่าสูง จาก JIS R 1602 ได้แนะนำให้ใช้ Wire Strain Gauge 1 mm หรือน้อยกว่า ในกรณีของ Three Point Bending ดิตที่ด้านล่างตรงกลางของชิ้นงานที่ทำการทดสอบ

จากกฎที่ 5.4 แสดงความสัมพันธ์ระหว่างค่า Elastic กับ Relative density พบว่า ค่า Elastic มีแนวโน้มแปรผันตรงกับ Relative density และแสดงว่าปัจจัยที่อิทธิพลต่อค่า Elastic modulus ของ  $\text{Si}_3\text{N}_4$  คือความหนาแน่น ซึ่งทดสอบแล้วกับผลงานวิจัยของ O. Yeheskel และ Y. Gefen<sup>33</sup> ที่เสนอวิธีการหาค่า Elastic modulus ของ  $\text{Si}_3\text{N}_4$  ในช่วง Porosity 0 ถึง 50% จากสมการ “  $E_{\text{Si}_3\text{N}_4} = C_{\alpha/(a+\beta)} E_\alpha (1 - 2.0P) + C_{\beta/(a+\beta)} E_\beta (1 - 3.3P)$  ” โดยที่  $E_\alpha = 362 \text{ GPa}$  และ  $E_\beta = 312 \text{ GPa}$

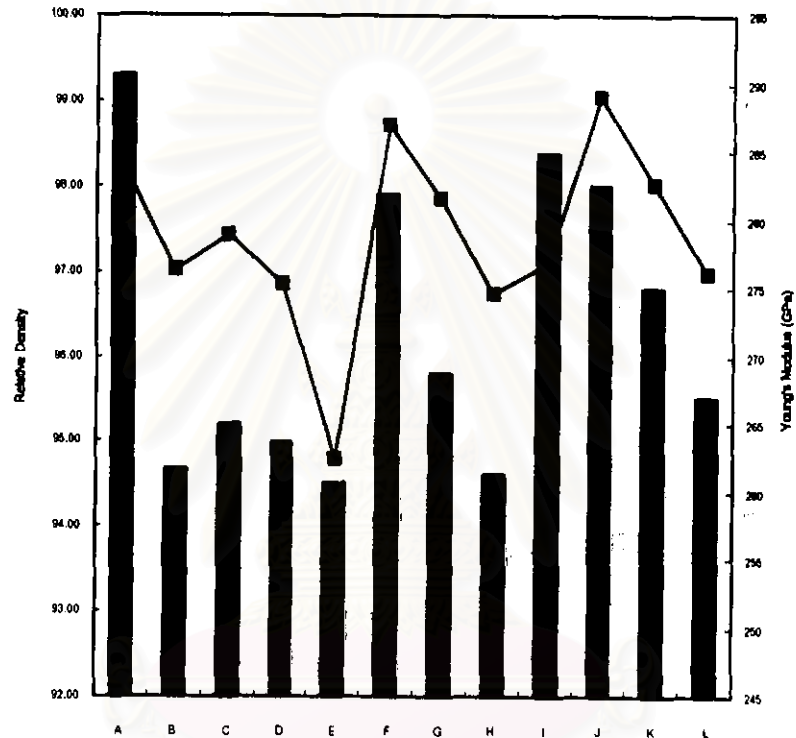
สำหรับในกรณีของ สารผสม C ที่มีค่า Elastic สูงถึง 265 GPa ในขณะที่ %TD ต่ำเท่ากับ 94.71 อาจเนื่องมาจากการมีเฟสเดียว ( Secondary phase ) ที่มีปริมาณสูงของ  $\text{Y}_2\text{O}_3$

สถาบันวิทยบริการ  
จุฬาลงกรณ์มหาวิทยาลัย

ស័យតាកម្មណ៍	សំរាប់អំពីការគោរព	Young's Modulus (GPa)	%TD
A	85Si <sub>3</sub> N <sub>4</sub> , 3MgO, 12Y <sub>2</sub> O <sub>3</sub>	290.6	98.28
B	85Si <sub>3</sub> N <sub>4</sub> , 3MgO, 2.4Al <sub>2</sub> O <sub>3</sub> , 9.6Y <sub>2</sub> O <sub>3</sub>	261.7	97.01
C	85Si <sub>3</sub> N <sub>4</sub> , 3MgO, 4.8Al <sub>2</sub> O <sub>3</sub> , 7.2Y <sub>2</sub> O <sub>3</sub>	265	97.41
D	85Si <sub>3</sub> N <sub>4</sub> , 3MgO, 7.2Al <sub>2</sub> O <sub>3</sub> , 4.8Y <sub>2</sub> O <sub>3</sub>	263.6	96.85
E	85Si <sub>3</sub> N <sub>4</sub> , 2MgO, 13Y <sub>2</sub> O <sub>3</sub>	260.6	94.80
F	85Si <sub>3</sub> N <sub>4</sub> , 2MgO, 2.6Al <sub>2</sub> O <sub>3</sub> , 10.4Y <sub>2</sub> O <sub>3</sub>	281.8	98.70
G	65Si <sub>3</sub> N <sub>4</sub> , 2MgO, 5.2Al <sub>2</sub> O <sub>3</sub> , 7.8Y <sub>2</sub> O <sub>3</sub>	268.8	97.84
H	85Si <sub>3</sub> N <sub>4</sub> , 2MgO, 7.8Al <sub>2</sub> O <sub>3</sub> , 5.2Y <sub>2</sub> O <sub>3</sub>	261.3	96.74
I	85Si <sub>3</sub> N <sub>4</sub> , 1MgO, 14Y <sub>2</sub> O <sub>3</sub>	284.9	97.08
J	85Si <sub>3</sub> N <sub>4</sub> , 1MgO, 2.8Al <sub>2</sub> O <sub>3</sub> , 11.2Y <sub>2</sub> O <sub>3</sub>	282.5	99.04
K	85Si <sub>3</sub> N <sub>4</sub> , 1MgO, 5.6Al <sub>2</sub> O <sub>3</sub> , 8.4Y <sub>2</sub> O <sub>3</sub>	275	98.01
L	85Si <sub>3</sub> N <sub>4</sub> , 1MgO, 8.4Al <sub>2</sub> O <sub>3</sub> , 5.6Y <sub>2</sub> O <sub>3</sub>	267	96.97

តារាងទี่ 5.2 ផែនគារ Young's Modulus ក្នុង Relative density

**សាលាបន្ទិទ្យបន្ទិករ**  
**ជុំដល់ក្រសួងអំពីវិទ្យាល័យ**



รูปที่ 5.4 แสดงความสัมพันธ์ระหว่างค่า (■) Young's Modulus กับ (—) Relative density

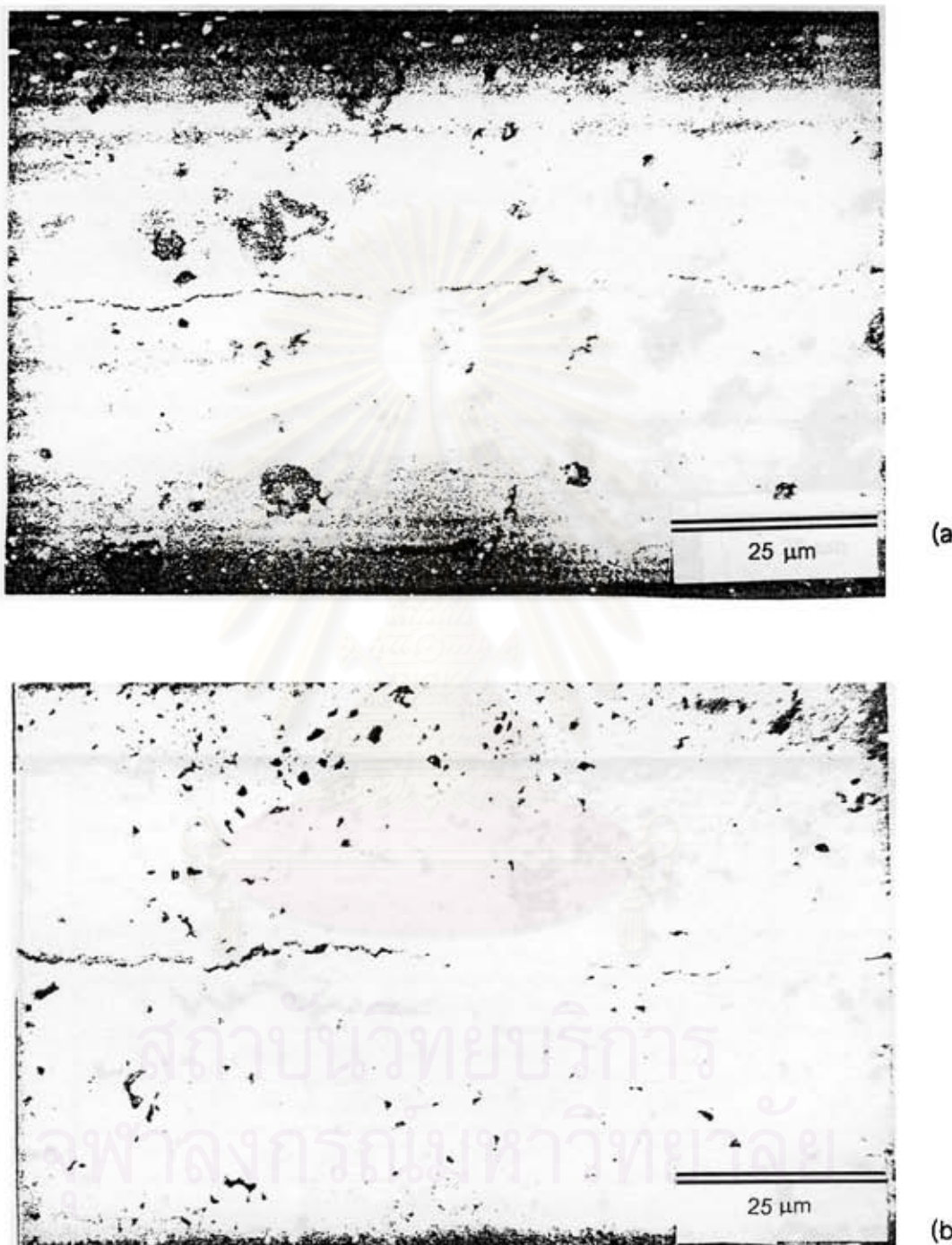
### 5.3 ผลด้านความต้านทานการแตกหัก

ผลจากความแตกต่างของสัดส่วนสารปรับปูนสมบูรณ์ ส่งผลให้โครงสร้างทางอุลตราซึ่งชิลลิกอนในไตรต์มีรูปร่างแตกต่างกันแสดงให้เห็นดังรูปที่ 4.4 (a-d) มีการแตกลีกเกิดเพลิงใหม่ เป็น  $\beta\text{-Si}_3\text{N}_4$  จากอนุภาคผง  $\alpha\text{-Si}_3\text{N}_4$  ซึ่งมีลักษณะเป็นเกเรนยา ลักษณะของเกเรนตั้งกล่าวมีคุณสมบัติเบี่ยงเบนรอยแตก (Deflect cracks) ทำให้เพิ่มความเหนียว (Toughness) ของวัสดุ ลักษณะของรอยแตกที่เกิดจากการ Indentation แสดงดังรูปที่ 5.5 รูปที่ 5.5(a) แสดง Crack Propagation ของ  $\text{Si}_3\text{N}_4 + 3\text{wt\%MgO} + 4.8\text{wt\% Al}_2\text{O}_3 + 7.2\text{wt\% Y}_2\text{O}_3$ ,  $K_{IC} = 4.85 \text{ MPa.m}^{1/2}$  และ รูปที่ 4.11(b)  $\text{Si}_3\text{N}_4 + 1\text{wt\%MgO} + 8.4\text{wt\% Al}_2\text{O}_3 + 5.6\text{wt\% Y}_2\text{O}_3$ ,  $K_{IC} = 4.66 \text{ MPa.m}^{1/2}$  มีลักษณะเป็นเส้นตรง กรณี Crack Propagation ของ  $\text{Si}_3\text{N}_4 + 3\text{wt\% MgO} + 12\text{wt\% Y}_2\text{O}_3$ ,  $K_{IC} = 7.41 \text{ MPa.m}^{1/2}$  ดังรูปที่ 5.5(c) และรูปที่ 5.5(d)  $\text{Si}_3\text{N}_4 + 1\text{wt\%MgO} + 14\text{wt\% Y}_2\text{O}_3$ ,  $K_{IC} = 7.0 \text{ MPa.m}^{1/2}$  มีลักษณะเป็นพื้นปลา

จากรูปที่ 4.6 แสดงความสัมพันธ์ระหว่างปริมาณของ  $\text{Al}_2\text{O}_3$  กับค่า Aspect Ratio และรูปที่ 4.9 แสดงความสัมพันธ์ระหว่างปริมาณของ  $\text{Al}_2\text{O}_3$  กับค่าความต้านทานการแตกหัก พบว่าเมื่อปริมาณของ  $\text{Al}_2\text{O}_3$  ลดลง ทำให้สัดส่วนของ  $\text{Y}_2\text{O}_3$  เพิ่มขึ้น ผลปรากฏว่าค่า Aspect Ratio และค่าความต้านทานการแตกหัก มีแนวโน้มเพิ่มขึ้นตามสัดส่วนของ  $\text{Y}_2\text{O}_3$

จากเหตุผลดังกล่าวแสดงว่า ส่วนผสมทางเคมีของเฟสแก้วเหลว (Liquid Phase) ที่มีปริมาณ  $\text{Y}_2\text{O}_3$  สูงจะมีความหนืดสูง (High Viscosity) มีผลต่อกระบวนการ Liquid Phase Sintering ของชิลลิกอนในไตรต์ในขั้นตอน Solution - Diffusion - Precipitation ส่งผลให้การติดของเกเรน  $\beta\text{-Si}_3\text{N}_4$  ในแนวนอน c ได้ดี<sup>14</sup> และเป็นเหตุให้ค่า Aspect Ratio ของเกเรน  $\beta\text{-Si}_3\text{N}_4$  ภายนอกการซินเทอร์มีค่าสูง

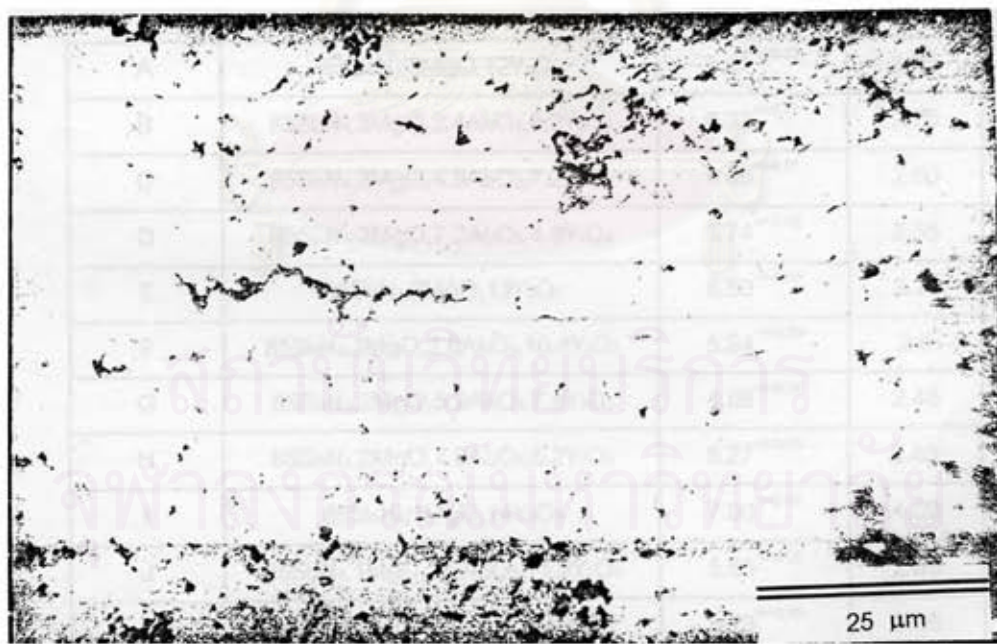
เมื่อนำค่าความต้านทานต่อการแตกหักกับค่า Mean Diameter ของเกเรน  $\beta\text{-Si}_3\text{N}_4$  และค่าความต้านทานต่อการแตกหักกับค่า Mean Aspect Ratio ของเกเรน  $\beta\text{-Si}_3\text{N}_4$  จากตารางที่ 5.3 มาสร้างแผนภาพกราฟจัดกระยะ (Scatter Diagram) ดังรูปที่ 5.6 และรูปที่ 5.7 ตามลำดับ ปรากฏว่าเมื่อคำนวณหาค่าสัมประสิทธิ์สหสัมพันธ์ (Correlation coefficient) และทำการทดสอบนัยสำคัญของค่าสัมประสิทธิ์สหสัมพันธ์ด้วยวิธี t-test<sup>34</sup> ได้ค่าดังตารางที่ 5.4



รูปที่ 5.5 แสดงตัวอย่างของรอยแตกที่เกิดจากการ Indentation(a) ของ  $\text{Si}_3\text{N}_4 + 3\text{wt}\% \text{MgO} + 12\text{wt}\%$  ( $\text{Al}_2\text{O}_3 : \text{Y}_2\text{O}_3, 2 : 3$ ),  $K_{IC} = 4.85 \text{ MPa} \cdot \text{m}^{1/2}$  (b)  $\text{Si}_3\text{N}_4 + 1\text{wt}\% \text{MgO} + 14\text{wt}\% (\text{Al}_2\text{O}_3 : \text{Y}_2\text{O}_3, 3 : 2)$ ,  $K_{IC} = 4.66 \text{ MPa} \cdot \text{m}^{1/2}$



(c)



(d)

รูปที่ 5.5 แสดงลักษณะของรอยแตกที่เกิดจากการ Indentation (c) $\text{Si}_3\text{N}_4 + 3\text{wt\%MgO} + 12\text{wt\%Y}_2\text{O}_3$ ,  $K_{Ic} = 7.41 \text{ MPa} \cdot \text{m}^{1/2}$  (d) $\text{Si}_3\text{N}_4 + 1\text{wt\%MgO} + 14\text{wt\%Y}_2\text{O}_3$ ,  $K_{Ic} = 7.00 \text{ MPa} \cdot \text{m}^{1/2}$

การคำนวณค่าความต้านทานการแตกหักด้วยวิธี Linear Regression จะได้ความสัมพันธ์ของความต้านทานแรงตัด ( $y$ ) กับ Mean Aspect Ratio ( $x$ ) ดังสมการ

$$y = 1.5039x + 1.4109, R^2 = 0.7825$$

และได้ความสัมพันธ์ของความต้านทานแรงตัด ( $y$ ) กับ Mean Diameter ( $x$ ) ดังสมการ

$$y = 1.7981x + 4.683, R^2 = 0.0529$$

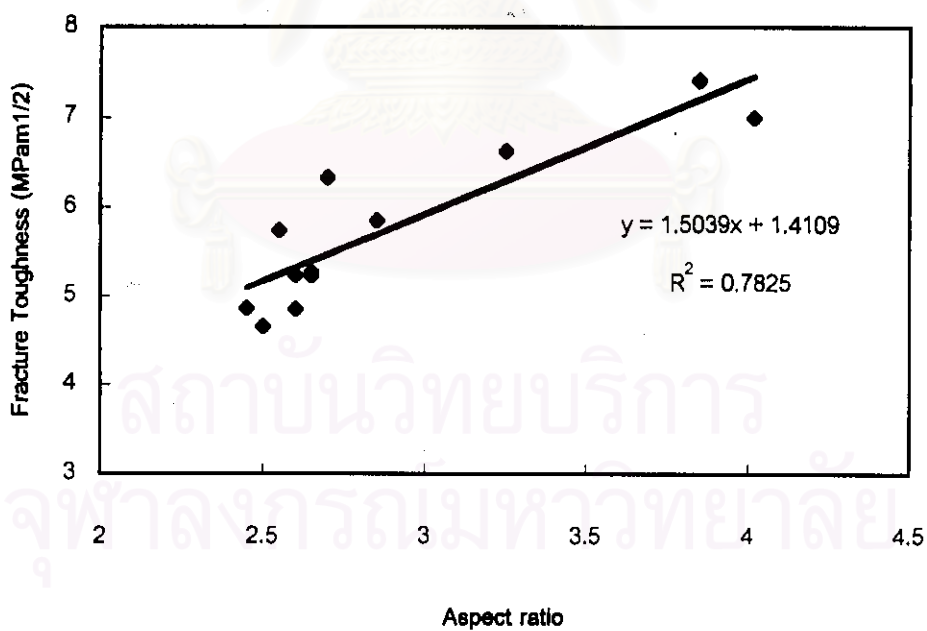
จากตารางที่ 5.4 เมื่อเปรียบเทียบค่า  $t$  กับ  $t_{0.05,10}$  พบร่วมกันของความต้านทานต่อการแตกหัก กับ Mean Diameter ค่า  $t < t_{0.05,10}$  ดังนั้นสรุปได้ว่าความต้านทานต่อการแตกหัก กับ Mean Diameter มีความสัมพันธ์กันอย่างไม่มีนัยสำคัญทางสถิติ สำหรับความต้านทานต่อการแตกหัก กับ Mean Aspect Ratio ค่า  $t > t_{0.05,10}$  ดังนั้นสรุปได้ว่าความต้านทานต่อการแตกหัก กับ Mean Aspect Ratio มีความสัมพันธ์กันอย่างมีนัยสำคัญทางสถิติ

ลักษณะ	สารตั้งต้น	Fracture Toughness (MPa.m <sup>1/2</sup> )	Mean Aspect Ratio	Mean Diameter (ไมครอน)
A	85Si <sub>3</sub> N <sub>4</sub> , 3MgO, 12Y <sub>2</sub> O <sub>3</sub>	7.41 <sup>+/-0.33</sup>	3.85	0.62
B	85Si <sub>3</sub> N <sub>4</sub> , 3MgO, 2.4Al <sub>2</sub> O <sub>3</sub> , 9.6Y <sub>2</sub> O <sub>3</sub>	6.33 <sup>+/-0.51</sup>	2.70	0.65
C	85Si <sub>3</sub> N <sub>4</sub> , 3MgO, 4.8Al <sub>2</sub> O <sub>3</sub> , 7.2Y <sub>2</sub> O <sub>3</sub>	4.85 <sup>+/-0.21</sup>	2.60	0.68
D	85Si <sub>3</sub> N <sub>4</sub> , 3MgO, 7.2Al <sub>2</sub> O <sub>3</sub> , 4.8Y <sub>2</sub> O <sub>3</sub>	5.74 <sup>+/-0.58</sup>	2.55	0.51
E	85Si <sub>3</sub> N <sub>4</sub> , 2MgO, 13Y <sub>2</sub> O <sub>3</sub>	6.63 <sup>+/-0.50</sup>	3.25	0.64
F	85Si <sub>3</sub> N <sub>4</sub> , 2MgO, 2.6Al <sub>2</sub> O <sub>3</sub> , 10.4Y <sub>2</sub> O <sub>3</sub>	5.24 <sup>+/-0.39</sup>	2.6	0.68
G	85Si <sub>3</sub> N <sub>4</sub> , 2MgO, 5.2Al <sub>2</sub> O <sub>3</sub> , 7.8Y <sub>2</sub> O <sub>3</sub>	4.86 <sup>+/-0.36</sup>	2.45	0.40
H	85Si <sub>3</sub> N <sub>4</sub> , 2MgO, 7.8Al <sub>2</sub> O <sub>3</sub> , 5.2Y <sub>2</sub> O <sub>3</sub>	5.27 <sup>+/-0.26</sup>	2.65	0.65
I	85Si <sub>3</sub> N <sub>4</sub> , 1MgO, 14Y <sub>2</sub> O <sub>3</sub>	7.00 <sup>+/-0.48</sup>	4.02	0.53
J	85Si <sub>3</sub> N <sub>4</sub> , 1MgO, 2.8Al <sub>2</sub> O <sub>3</sub> , 11.2Y <sub>2</sub> O <sub>3</sub>	5.85 <sup>+/-0.32</sup>	2.85	0.74
K	85Si <sub>3</sub> N <sub>4</sub> , 1MgO, 5.6Al <sub>2</sub> O <sub>3</sub> , 8.4Y <sub>2</sub> O <sub>3</sub>	5.23 <sup>+/-0.35</sup>	2.65	0.68
L	85Si <sub>3</sub> N <sub>4</sub> , 1MgO, 8.4Al <sub>2</sub> O <sub>3</sub> , 5.6Y <sub>2</sub> O <sub>3</sub>	4.66 <sup>+/-0.20</sup>	2.50	0.38

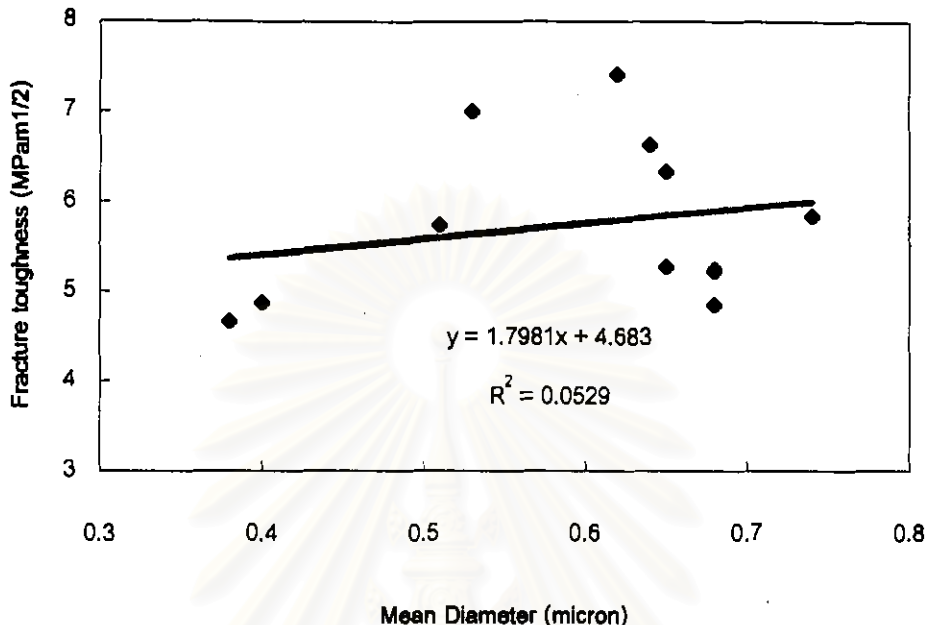
ตารางที่ 5.3 แสดง Mean Diameter Mean Aspect ratio ความต้านทานต่อการแตกหัก และปริมาณสารปรับปูนสมบัติ

ค่าทางสถิติ ตัวแปร	R	N	t	$t_{0.05,10}$
ความด้านทานต่อการแตกหัก กับ Mean Diameter	0.2300	12	0.74	1.81
ความด้านทานต่อการแยกหัก กับ Mean Aspect Ratio	0.8846	12	2.655	1.81

ตารางที่ 5.4 แสดงค่าทางสถิติของความด้านทานต่อการแยกหัก กับ Mean Diameter และ Mean Aspect Ratio



รูปที่ 5.6 แสดงความสัมพันธ์ระหว่างค่า ความด้านทานต่อการแยกหัก กับ Mean Aspect Ratio



รูปที่ 5.7 แสดงความสัมพันธ์ระหว่างค่า ความต้านทานต่อการแตกหัก กับ Mean Diameter

การทำนายค่าความต้านทานต่อการแตกหักด้วยวิธี Linear Regression ที่อยู่ในรูปของ  $y = c + ax$  จะได้ความสัมพันธ์ของความต้านทานการแตกหักกับ Mean Diameter ของเกณ  $\beta$ - $Si_3N_4$  และ Mean Aspect Ratio ดังความสัมพันธ์

$$K_{IC} = 1.4109 + 1.5039 Ar, R^2 = 0.7825$$

โดยที่  $K_{IC}$  คือ ความต้านทานแรงตัด , MPa.m<sup>1/2</sup>

Ar คือ Mean Aspect Ratio

## 5.4 ผลต้านความต้านทานแรงดึง

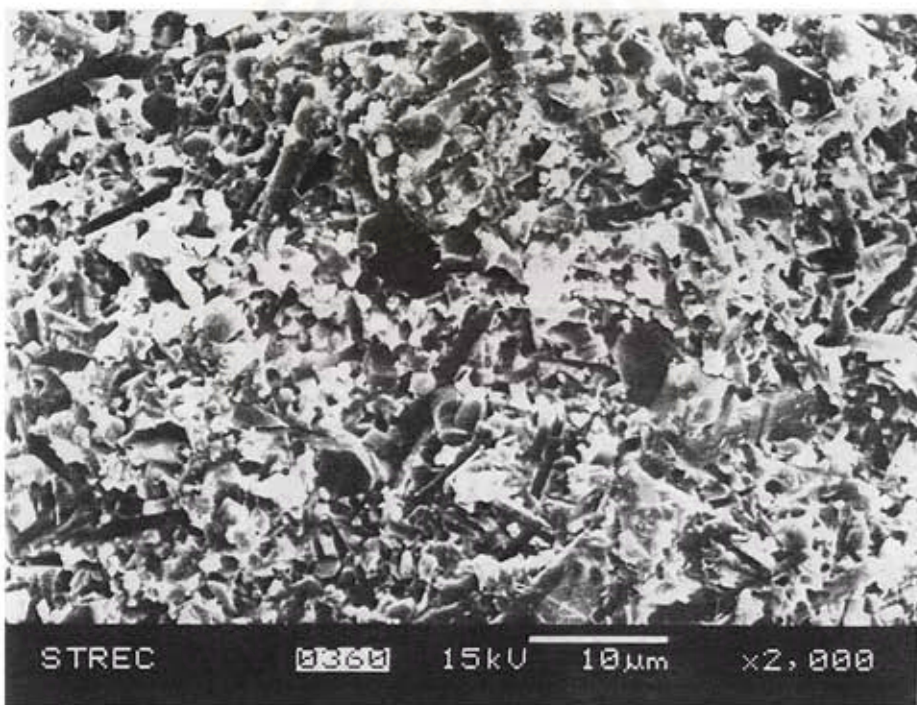
การตรวจสอบภาพถ่ายบริเวณผิวเรียบแยกภายหลังการทดสอบหาความต้านทานแรงดึงของชิ้นตัวอย่างที่อุณหภูมิห้องแสดงดังรูปที่ 5.8 เซรามิกชิ้นตัวอย่างที่มีสารปรับปูงสมบูรณ์ 2wt%MgO + 2.6wt%Al2O3 + 10.4wt%Y2O3 และ 1wt%MgO + 2.8wt%Al2O3 + 11.2wt%Y2O3 ไม่มี Pore ดังรูปที่ 4.4(a) และ(b) สำหรับเซรามิกชิ้นตัวอย่างที่มีสารปรับปูงสมบูรณ์ 3wt%MgO + 2.4wt%Al2O3 + 9.6wt%Y2O3, 2wt%MgO + 13wt%Y2O3, 3wt%MgO + 7.2wt%Al2O3 + 4.8wt%Y2O3 และ 1wt%MgO + 8.4wt%Al2O3 + 5.6wt%Y2O3 พบ Pore ในขนาดประมาณ 2,3,4 และ 8 ไมครอนตามลำดับดังรูปที่ 5.3 (c),(d) และ(e)

ตัวอย่าง	สารตั้งต้น	Flexural Strength (Mpa)	Mean Diameter (ไมครอน)	Mean Aspect Ratio	%TD
A	85 <chem>Si3N4</chem> , 3 <chem>MgO</chem> , 12 <chem>Y2O3</chem>	898.284 <sup>+/-90.402</sup>	0.62	3.85	98.28
B	85 <chem>Si3N4</chem> , 3 <chem>MgO</chem> , 2.4 <chem>Al2O3</chem> , 9.6 <chem>Y2O3</chem>	609.386 <sup>+/-144.156</sup>	0.65	2.70	97.01
C	85 <chem>Si3N4</chem> , 3 <chem>MgO</chem> , 4.8 <chem>Al2O3</chem> , 7.2 <chem>Y2O3</chem>	638.566 <sup>+/-58.526</sup>	0.68	2.60	97.41
D	85 <chem>Si3N4</chem> , 3 <chem>MgO</chem> , 7.2 <chem>Al2O3</chem> , 4.8 <chem>Y2O3</chem>	459.632 <sup>+/-62.091</sup>	0.51	2.55	96.85
E	85 <chem>Si3N4</chem> , 2 <chem>MgO</chem> , 13 <chem>Y2O3</chem>	564.895 <sup>+/-81.077</sup>	0.64	3.25	94.80
F	85 <chem>Si3N4</chem> , 2 <chem>MgO</chem> , 2.8 <chem>Al2O3</chem> , 10.4 <chem>Y2O3</chem>	493.404 <sup>+/-493.404</sup>	0.88	2.6	98.70
G	85 <chem>Si3N4</chem> , 2 <chem>MgO</chem> , 5.2 <chem>Al2O3</chem> , 7.8 <chem>Y2O3</chem>	710.298 <sup>+/-198.544</sup>	0.40	2.45	97.84
H	85 <chem>Si3N4</chem> , 2 <chem>MgO</chem> , 7.8 <chem>Al2O3</chem> , 5.2 <chem>Y2O3</chem>	575.407 <sup>+/-63.778</sup>	0.65	2.65	96.74
I	85 <chem>Si3N4</chem> , 1 <chem>MgO</chem> , 14 <chem>Y2O3</chem>	816.786 <sup>+/-37.544</sup>	0.53	4.02	97.08
J	85 <chem>Si3N4</chem> , 1 <chem>MgO</chem> , 2.8 <chem>Al2O3</chem> , 11.2 <chem>Y2O3</chem>	594.812 <sup>+/-60.383</sup>	0.74	2.85	99.04
K	85 <chem>Si3N4</chem> , 1 <chem>MgO</chem> , 5.6 <chem>Al2O3</chem> , 8.4 <chem>Y2O3</chem>	617.178 <sup>+/-50.973</sup>	0.68	2.65	98.01
L	85 <chem>Si3N4</chem> , 1 <chem>MgO</chem> , 8.4 <chem>Al2O3</chem> , 5.6 <chem>Y2O3</chem>	473.173 <sup>+/-147.277</sup>	0.38	2.50	98.97

ตารางที่ 5.5 แสดง Mean Diameter Mean Aspect ratio ความต้านทานแรงดึงกับปริมาณสารปรับปูงสมบูรณ์และหนาแน่นภายในหลังการทำขันเทอร์

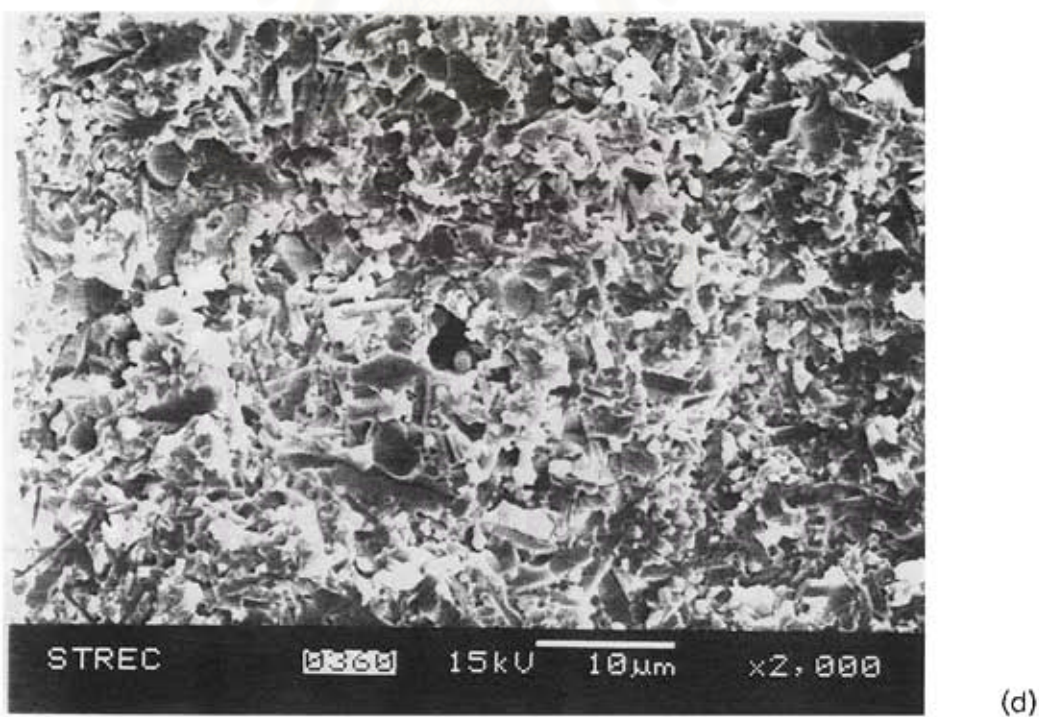
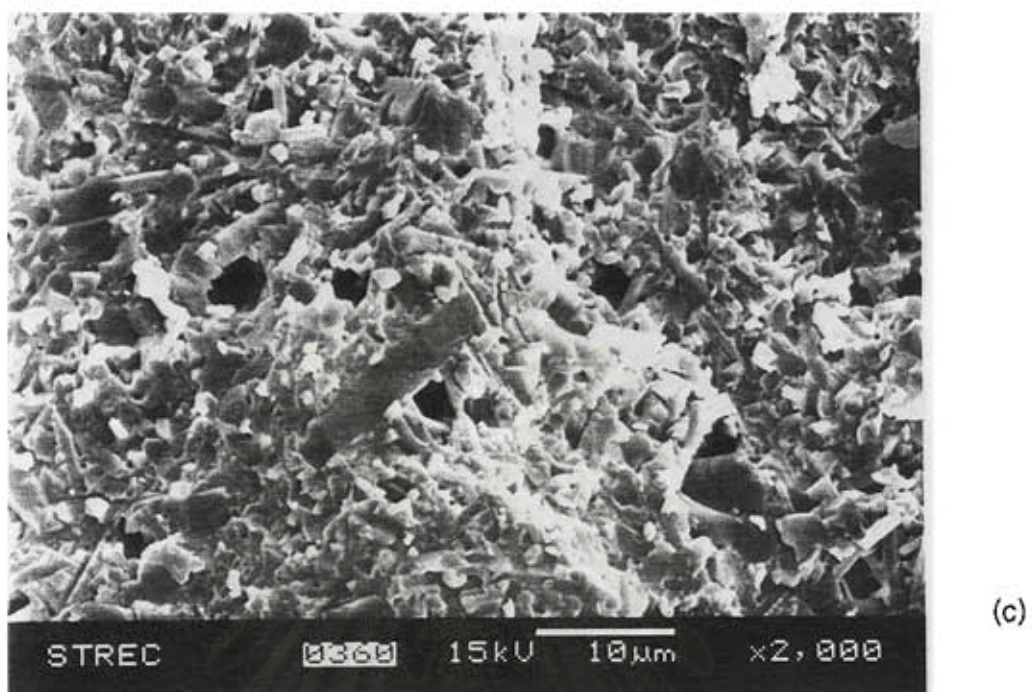


(a)



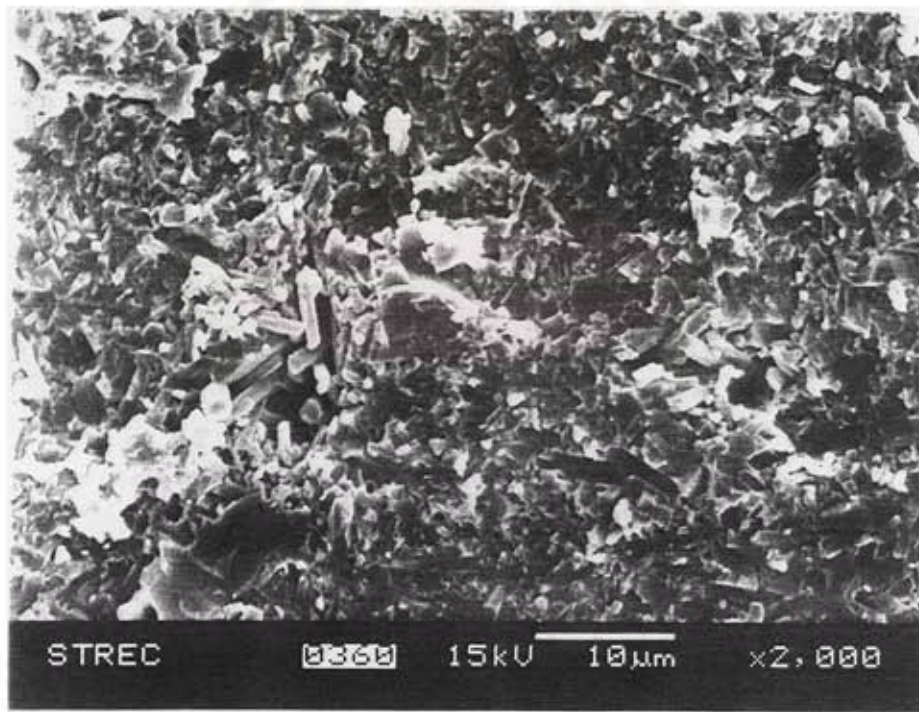
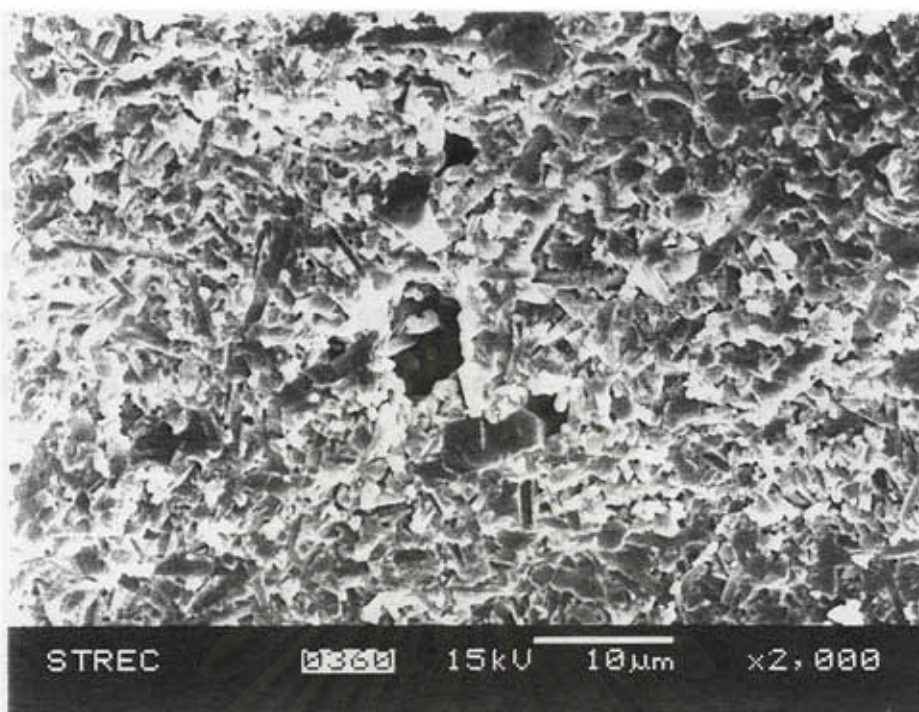
(b)

รูปที่ 5.8 แสดงภาพถ่ายบีวีเอ็นผิวนิวรอยด์ภายหลังการหดสูบ hacmam ต้านทานแรงดึงดูดของเซรามิกชิลล่อนในไตรค์อุณหภูมิห้อง (a)  $\text{Si}_3\text{N}_4 + 2\text{wt\%MgO} + 2.6 \text{ wt\%Al}_2\text{O}_3 + 10.4\text{wt\%Y}_2\text{O}_3$ , 98.70% TD  
 (b)  $\text{Si}_3\text{N}_4 + 1\text{wt\%MgO} + 2.8\text{wt\%Al}_2\text{O}_3 + 11.2\text{wt\%Y}_2\text{O}_3$ , 99.04% TD



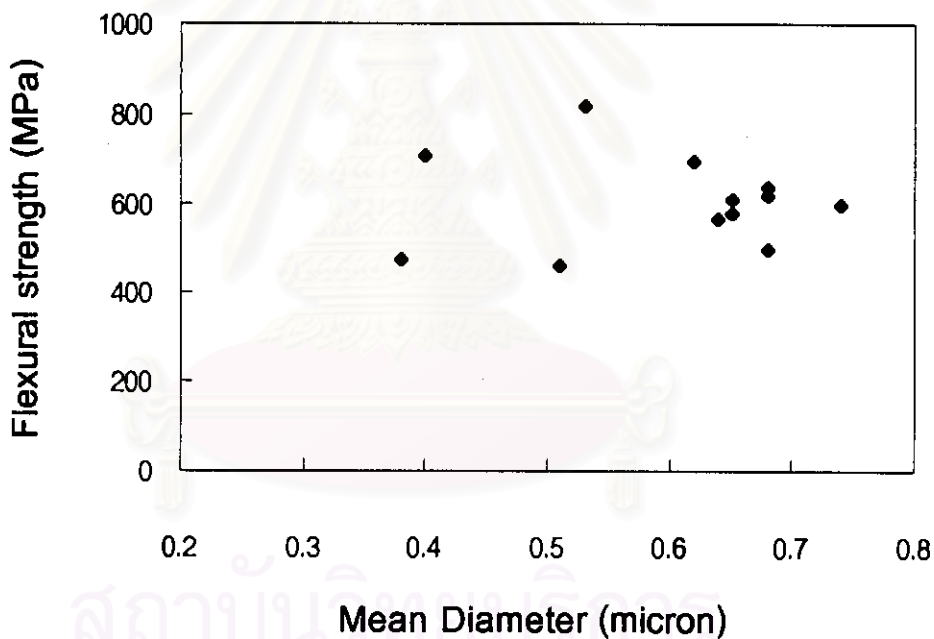
รูปที่ 5.8 แสดงภาพถ่ายบีจีเอ็มผิวเรียบโดยแทรกภายนอกการทดสอบข้อความด้านท่านแรงดันของเซรามิกชิ้นค่อนในไตรต์อุณหภูมิห้อง (c)  $\text{Si}_3\text{N}_4 + 2\text{wt\%MgO} + 13\text{wt\%Y}_2\text{O}_3$ , 94.80% TD

(ก) ๙.๘ ๑๔๖๗/๒๐๐๔/๙ ๘๙๐/๘ ๑ ๑๕ ๘๙๐/๘ ๑ ๙๖ ๘๗๐/๒๐



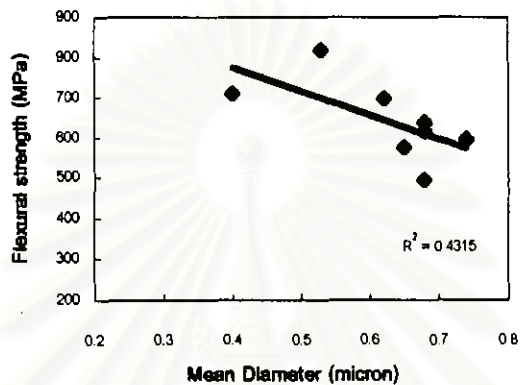
รูปที่ 5.8 แสดงภาพถ่ายบีเวนผิวเรียบแต่ภายในหลังการหดส่วนของความต้านทานแรงดึงดูดของเซรามิกชิลiconในไตรค์ก้อนหุ้นห้อง (e)  $\text{Si}_3\text{N}_4 + 1\text{wt\% MgO} + 8.4\text{wt\% Al}_2\text{O}_3 + 5.6\text{wt\% Y}_2\text{O}_3$ , 96.97% TD  
(f)  $\text{Si}_3\text{N}_4 + 3\text{wt\% MgO} + 2.4\text{wt\% Al}_2\text{O}_3 + 9.6\text{wt\% Y}_2\text{O}_3$ , 97.01% TD

จากตารางที่ 5.5 และ รูปที่ 5.9 พบว่าค่า ความต้านทานแรงดึง ของชิลicon ในไตร์กายหลังการทำซีนเทอร์ มีค่าสูงสุดเท่ากับ 816.786 MPa ( 97.08 % TD ) โดยมีขนาดเกรนเท่ากับ 0.53 ไมครอนที่ Composition I และ 710.298 MPa ( 97.84% TD) ขนาดเกรนเท่ากับ 0.4 ไมครอนที่ Composition G เมื่อขนาดเกรน  $\beta$  เพิ่มสูงขึ้น ค่า ความต้านทานแรงดึง จะมีแนวโน้มลดลง เช่นที่ Composition J และ F ค่าความต้านทานแรงดึง มีค่าเท่ากับ 594.812 MPa ( 99.04%TD) และ 493.404MPa (98.7 %TD) โดยที่มีขนาดเกรน  $\beta$  เท่ากับ 0.74 และ 0.68 ตามลำดับ

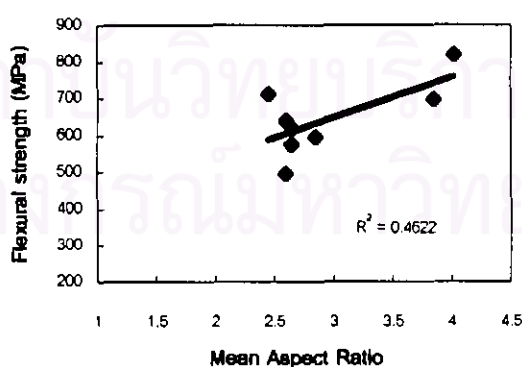


รูปที่ 5.9 แสดงความสัมพันธ์ระหว่างค่า ความต้านทานแรงดึง กับ Mean Diameter

เมื่อนำค่าความต้านทานแรงดึงที่กับ Mean Diameter ของเกรน  $\beta\text{-Si}_3\text{N}_4$  จากตารางที่ 5.5 มาสร้างแผนภาพกราฟกระจัดกระจาย ( Scatter Diagram ) ปรากฏว่าจุดต่างๆกระจายไม่เป็นระเบียบ เมื่อพิจารณาค่า Relative Density จากตารางที่ 5.5 และภาพถ่ายรอยแตกรูปที่ 4.5c ถึง f พบร่วมกัน ที่ไม่เหมาะสมที่จะนำมาวิเคราะห์หาความสัมพันธ์ จึงได้ทำการตัดข้อมูลของส่วนผสมทางเคมี B, D, E และ L ดังนั้นแผนภาพกราฟกระจัดกระจายภายหลังการตัดข้อมูลเป็นไปตามรูปที่ 5.10 และ 5.11



รูปที่ 5.10 แสดงความสัมพันธ์ระหว่างค่า ความต้านทานแรงดึง กับ Mean Diameter ภาย นหลังตัดปั้มนูกลงส่วนผสมทางเคมี B, D, E และ L



รูปที่ 5.11 แสดงความสัมพันธ์ระหว่างค่า ความต้านทานแรงดึง กับ Mean Aspect Ratio ภาย นหลังตัด ปั้มนูกลงส่วนผสมทางเคมี B, D, E และ L

จากแผนภาพกราฟจัดการรายรูปที่ 5.10 และ 5.11 เมื่อนำมาคำนวณหาค่าสัมประสิทธิ์สหสัมพันธ์ (Correlation Coefficient) และทำการทดสอบนัยสำคัญของค่าสัมประสิทธิ์สหสัมพันธ์ด้วยวิธีค่า  $t - test^37$  ได้ค่าดังตารางที่ 5.6

ค่าทางสถิติ	$r$	$t$	N	$t_{0.05,8}$
ตัวแปร ความด้านทานแรงตัดกับ Mean Diameter	-0.6569	5.2274	8	1.943
ความด้านทานแรงตัดกับ Mean Aspect Ratio	0.6799	5.563	8	1.943

ตารางที่ 5.6 แสดงค่าสัมประสิทธิ์สหสัมพันธ์และค่าทางสถิติเมื่อทดสอบนัยสำคัญ

จากตารางที่ 5.6 เมื่อเปรียบเทียบค่า  $t$  กับ  $t_{0.05,8}$  พบร่วมค่า  $t > t_{0.05,8}$  ดังนั้นสรุปได้ว่าตัวแปรทั้ง 2 ชุดนี้ มีความสัมพันธ์กันอย่างมีนัยสำคัญทางสถิติที่ความเชื่อมั่น 95 %

เนื่องจากตัวแปรที่สองผลต่อความด้านทานแรงตัดมี 2 ตัวแปรคือค่า Mean Diameter ของเกณ  $\beta - Si_3N_4$  กับค่า Mean Aspect Ratio ด้วยเหตุผลดังกล่าวจึงได้นำข้อมูลมาหาความสัมพันธ์โดยให้ความด้านทานแรงตัดเป็นตัวแปรตาม (Dependent Variable) และ Mean Diameter ของเกณ  $\beta - Si_3N_4$  กับ Mean Aspect Ratio เป็นตัวแปรอิสระ (Independent Variable) จากการใช้สหสัมพันธ์พหุคุณ (Multiple Correlation, R) และทำการทดสอบนัยสำคัญของค่าสัมประสิทธิ์สหสัมพันธ์พหุคุณด้วยวิธีทดสอบค่า F - test ได้ค่าดังตารางที่ 5.7

ค่าทางสถิติ	R	$R^2$	F	$F_{0.05,2,8}$
ตัวแปร ความด้านทานแรงตัดกับ Mean Diameter และ Mean Aspect Ratio	0.8837	0.7810	8.913	5.79

ตารางที่ 5.7 แสดงค่าสัมประสิทธิ์สหสัมพันธ์พหุคุณและค่าสถิติในการทดสอบนัยสำคัญด้วยวิธีทดสอบ F - test

จากตารางที่ 5.7 เมื่อเปรียบเทียบค่า F ที่คำนวณได้กับ  $F_{0.05,2,8}$  พบร่วมค่า  $F_{\text{คำนวณ}} > F_{0.05,2,8}$  แสดงว่า ข้อมูลชุดนี้มีความสัมพันธ์กันอย่างมีนัยสำคัญทางสถิติด้วยความเชื่อมั่น 95 %

การคำนวณค่าความต้านทานแรงดัดด้วยวิธี Multiple Linear Regression ที่อยู่ในรูปของ

$Y = \beta_0 + \beta_1 x_1 + \beta_2 x_2$  จะได้ความสัมพันธ์ของความต้านทานแรงดัดกับ Mean Diameterของเกณฑ์

$\beta$  -  $Si_3N_4$  และ Mean Aspect Ratio ดังความสัมพันธ์

$$\sigma = 681.328 - 516.013 D + 95.558 Ar, R^2 = 0.7810$$

โดยที่  $\sigma$  คือ ความต้านทานแรงดัด , MPa

D คือ Mean Diameterของเกณฑ์  $Si_3N_4$  , ไมครอน

Ar คือ Mean Aspect Ratio

สถาบันวิทยบริการ  
จุฬาลงกรณ์มหาวิทยาลัย